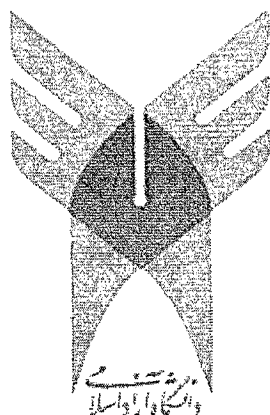


لَهُ مُلْكُ الْأَرْضِ  
وَالنَّسْكُ مِنْ حَمَلَتْ  
وَالنَّعْدُ مِنْ حَمَلَتْ

لَهُ مُلْكُ الْأَرْضِ



## دانشگاه آزاد اسلامی

واحد شاهروд

دانشکده علوم پایه، گروه شیمی

پایان نامه برای دریافت درجه کارشناسی ارشد «M.Sc»

گرایش: شیمی فیزیک

عنوان:

بررسی پایداری و خواص ترمودینامیکی کنفورمرهای مختلف ۲-هالوسيکلولوهگزان ایمین در  
فاز گاز و حلال با استفاده از محاسبات مکانیک کوانتومی

جعفر اسلامی  
تشریب

استاد راهنما:

دکتر بهزاد چهکندی

۱۳۸۹ / ۳ / ۱۷

استاد مشاور:

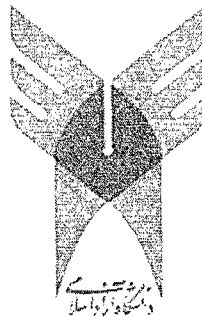
دکتر صفا علی عسگری

نگارش:

فاطمه عباسی نژاد

پاییز ۱۳۸۸

۱۳۷۷۸۵



## دانشگاه آزاد اسلامی

واحد شاهروود

دانشکده علوم پایه، گروه شیمی

پایان نامه برای دریافت درجه کارشناسی ارشد «M.Sc»

گرایش: شیمی فیزیک

عنوان:

بررسی پایداری و خواص ترمودینامیکی کنفورمرهای مختلف ۲-هالوسیکلولهگزان ایمین  
در فاز گاز و حلال با استفاده از محاسبات مکانیک کوانتومی

نگارش:

فاطمه عباسی نژاد

پاییز ۱۳۸۷

۱۳۸۹/۳/۱۷

۱- دکتر بهزاد چهکندي

۲- دکتر صفا علی عسگری

هیأت داوران

۳- دکتر جعفر ابوی

احسن علیعات پیرانی سمن پژوه

**سپاس خداوندگاری** را که تکیه‌گاه توکلش یاری بخش بندۀ حقیر بود و ایمان به حکمتش پایه‌ی علم آموختن.

سپاس و تشکر از تمامی اساتید و فرهیختگانی که مرا از دریای علم خود بهره مند ساختند و سپاس و قدردانی فراوان از استاد ارجمند جناب آقای دکتر چهکندي که با راهنمایی‌های دقیق و سنجیده راه‌گشای این مسیر علمی بوده و راه را برای این حقیر در جهت دستیابی به این مهم هموار نمودند.

با تشکر از مشاور ارجمند جناب آقای دکتر علی‌عسگری که از راهنمایی‌های خالصانه ایشان در این پژوهش بهره‌مند شدم و با تشکر از جناب آقای دکتر ابوی که پیش‌نویس رساله را به دقت مورد بررسی قرار داده و نظرات ارزشمندی جهت بهبود آن عنوان نمودند، مراتب سپاس را ابراز می‌نمایم.

و سپاس از تمامی معلمان محترم آموزش و پرورش، که افتخار شاگردی آنها را داشتم به خصوص سرکار خانم میرشاهی که بذر این علاقه را در ذهن پویای نوجوانیم به ودیعه نهادند.

**تقدیم** به آنان که در راه اعتلای فرهنگ ایران زمین همت گماشتند.

و **تقدیم** به اول معلم زندگیم، پدر مهربان و فداکارم، که هر چین پیشانیش نتیجه سالها تجربه بود و عشق به زیبا زیستن در نگاهش موج می‌زد. انسانی که تک تک واژه‌های زندگیش، نشانی از کلام خدا بود و چشم‌انش نورانی و آرام بخش. چشمانی، که چه بی‌مهابا در واژه‌ی مبهم خاک بسته شد و اما روشنایی مشعلش تا همیشه راهنمای زندگیم خواهد بود.

و **تقدیم** به مادر مهربانم، که همواره همچون شمعی فروزان روشنی بخش، یاریگر روزهای زندگیم بوده، هست و خواهد بود. باشد که همیشه بوسه‌زن دستان گرم و پر مهرش باشم.

و **تقدیم** به همسر و همراه صبور زندگیم، جناب آقای مهندس فرهادی که چه بی دریغ مرا در طی این مسیر دشوار همراهی نمود. باشد که بودنیم یارای سپاس از بودنش باشد.

و **تقدیم** به نهال سبز و خرم زندگیم، پسر عزیزم، امیرمهدی. امید است شاهد بالیدن و موفقیتش باشم.

## فهرست مطالب

### عنوان

### صفحه

۱ ..... چکیده

## فصل ۱: ساختمان سیکلوهگزان

۲ ..... ۱-۱- مقدمه

۲ ..... ۱-۲- ساختمان سیکلوهگزان

۴ ..... ۱-۲-۱- صورت‌بندی‌های سیکلوهگزان

۵ ..... ۲-۲-۱- پیوندهای محوری و استوایی در سیکلوهگزان

۵ ..... ۳-۲-۱- وارونگی صورت‌بندی (وارونگی حلقه) در سیکلوهگزان

۷ ..... ۱-۳- تحلیل صورت‌بندی سیکلوهگزان‌های تک استخلافی

۹ ..... ۱-۴- استروئو ایزومری در سیکلوهگزان‌های دو استخلافی

۱۰ ..... ۱-۵- آنتالپی، انرژی آزاد و ثابت تعادل

۱۱ ..... ۱-۶- تفاوت بین حلقه‌ی سیکلوهگزان و سیکلوهگزان‌ون

۱۲ ..... ۱-۷- سنتز سیکلوهگزان‌ون

۱۳ ..... ۱-۸- ترکیبات نیتروژن‌دار

۱۳ ..... ۱-۸-۱- تهییه‌ی آمین‌ها

۱۶ ..... ۱-۹-۱- ایمین‌ها

۱۷ ..... ۱-۹-۱-۱- سنتز ایمین‌ها

۱۸ ..... ۱-۹-۱-۱-۱- برخی از روش‌های سنتز ایمین‌ها

۲۰ ..... ۱-۹-۲- برخی از واکنش‌های ایمین‌ها

## فصل ۲: مطالعات تئوری و تجربی

۲۳ ..... ۱-۲- مطالعات تئوری و تجربی پیرامون مولکولهای مشابه سیکلوهگزان‌ایمین

## فصل ۳: روش‌های محاسبات کوانتومی

۳۶.....	۱-۳- مقدمه
۳۷.....	۲-۳- روش‌های مدلسازی کامپیوتری:
۳۸.....	۳-۳- مکانیک کوانتموی
۳۹.....	۴-۳- تقریب بورن اپنهایمر
۴۰.....	۵-۳- روش‌های نیمه تجربی
۴۱.....	۴-۵-۳- روش‌های نیمه تجربی برای مولکول‌های مزدوج
۴۲.....	۴-۵-۳- روش‌های اوربیتال مولکولی نیمه تجربی پیشرفته MNDO
۴۳.....	۳-۶-۳- روش‌های آغازین
۴۴.....	۱-۶-۳- توابع موج SCF و هارتی- فاک
۴۵.....	۲-۶-۳- روش‌های فوق هارتی فاک
۴۶.....	۱-۲-۶-۳- روش برهمنش پیکربندی (CI)
۴۷.....	۲-۲-۶-۳- روش SCF چندپیکربندی (MC-SCF)
۴۸.....	۲-۲-۶-۳- مفهوم همبستگی الکترون
۴۹.....	۴-۲-۶-۳- نظریه‌ی اختلال MØller-plesset
۵۰.....	۵-۲-۶-۳- روش CC
۵۱.....	۷-۳- نظریه‌ی تابعی- دانسیتیه (DFT)
۵۲.....	۱-۷-۳- قضیه‌ی Hohenberg-kohn
۵۳.....	۲-۷-۳- روش kohn-sham
۵۴.....	۳-۷-۳- تابعی انرژی تبادلی- همبستگی $E_{xc}$
۵۵.....	۴-۷-۳- قابلیت DFT
۵۶.....	۸-۳- توابع پایه
۵۷.....	۱-۸-۳- توابع نوع اسلیتر
۵۸.....	۲-۸-۳- توابع گوسی

۵۶	-۱-۲-۸-۳-اوربیتال‌های گوپسی منطبق (CGTO)
۵۷	-۲-۲-۸-۳-مجموعه‌های پایه‌ی مینیمال
۵۷	-۳-۲-۸-۳-مجموعه‌های پایه‌ی ظرفیتی مجزا
۵۸	-۴-۲-۸-۳-مجموعه‌های پایه‌ی قطبیده
۵۸	-۵-۲-۸-۳-توابع پخش شده
۵۹	-۶-۹-۳-ترموشیمی در گوسین
۵۹	-۱-۹-۳-انرژی الکترونی
۵۹	-۲-۹-۳-انرژی ارتعاش
۶۰	-۳-۹-۳-تصحیح انرژی کل
۶۰	-۴-۹-۳-تصحیح گرمایی انرژی داخلی
۶۱	-۵-۹-۳-آنتمالپی
۶۱	-۱۰-۳-برنامه Gaussian
۶۲	-۱۱-۳-آینده شیمی کوانتوم

#### فصل ۴: نتایج محاسبات

۶۴	-۱-۴-مقدمه
۶۴	-۲-۴-محاسبات در فاز گازی
۶۵	-۱-۲-۴-انرژی و مقادیر ترمودینامیکی
۷۵	-۲-۲-۴-ژئومتری‌های بهینه شده
۸۰	-۳-۴-محاسبات در فاز محلول
۸۰	-۱-۳-۴-مقادیر ترمودینامیکی در فاز محلول
۱۲۵	-۲-۳-۴-بررسی مقادیر $\Delta E_0$ در حلال‌های مختلف
۱۳۰	-۳-۳-۴-بررسی مقادیر ترمودینامیکی ۲-فلوئوروسیکلولوهگزان ایمین در حلال‌های مختلف
۱۳۵	-۴-۳-۴-بررسی مقادیر ترمودینامیکی ۲-کلروسیکلولوهگزان ایمین در حلال‌های مختلف
۱۴۰	-۵-۳-۴-بررسی مقادیر ترمودینامیکی ۲-برموسیکلولوهگزان ایمین در حلال‌های مختلف

۶-۳-۴- بررسی ممان دو قطبی ۲-هالوسیکلوهگزان ایمین در حلال‌های مختلف	۱۴۵
۷-۳-۴- ژئومتری‌های بینه شده در فاز محلول	۱۵۰
۴-۴- بحث و نتیجه‌گیری و پیشنهادات	۱۶۵
منابع	۱۶۷
چکیده انگلیسی	۱۶۸

## فهرست جداول

عنوان	
صفحة	
جدول ۱-۲- انرژی‌های گیبس واکنش با $L$ , $W(CO)_6 + L \rightarrow W(CO)_5 + CO$ کثوردینه شده در سبک‌های مختلف.....	۲۶
جدول ۱-۴- مقادیر ترمودینامیکی ۲- هالوسیکلوهگزان‌ایمین (محوری و استوایی) برای هالوژن‌های ( $F, Cl, Br$ ) در فاز گازی در سطح HF/6-311++G** ..... ۶۷	
جدول ۲-۴- مقادیر ترمودینامیکی ۲- هالوسیکلوهگزان‌ایمین برای هالوژن‌های ( $F, Cl, Br$ ) در فاز گازی در سطح B3LYP/6-311++G** ..... ۶۸	
جدول ۳-۴- مقادیر تغییرات توابع ترمودینامیکی تعادل استوایی به محوری ۲- هالوسیکلوهگزان‌ایمین در فاز گازی در سطوح HF و B3LYP سری پایهی ..... ۶۹	
جدول ۴-۴- درصد کنفورمرهای استوایی و محوری ۲- هالوسیکلوهگزان‌ایمین در فاز گازی در سطح B3LYP ..... ۷۱	
جدول ۴-۵- فواصل و زوایای پیوندی کنفورمرهای ۲- هالوسیکلوهگزان‌ایمین در فاز در سطح HF/6-311++G** ..... ۷۶	
جدول ۴-۶- فواصل و زوایای پیوندی کنفورمرهای محوری و استوایی ۲- هالوسیکلوهگزان‌ایمین در فاز گازی در سطح B3LYP/6-311++G** ..... ۷۷	
جدول ۴-۷- مقادیر ترمودینامیکی انرژی‌های نقطه‌ی صفر ( $E_0$ ) کنفورمرهای محوری و استوایی ۲- هالوسیکلوهگزان‌ایمین برای هالوژن‌های ( $F, Cl, Br$ ) در حللاهای مختلف بر حسب هارتی در سطح HF/6-311++G** ..... ۸۱	
جدول ۴-۸- مقادیر ترمودینامیکی $E_0 + Ezpc$ کنفورمرهای محوری و استوایی ۲- هالوسیکلوهگزان‌ایمین برای هالوژن‌های ( $F, Cl, Br$ ) در حللاهای مختلف بر حسب هارتی ..... ۸۲	
جدول ۴-۹- مقادیر ترمودینامیکی $E_0 + E_{tot}$ کنفورمرهای محوری و استوایی ۲- هالوسیکلوهگزان‌ایمین برای هالوژن‌های ( $F, Cl, Br$ ) در حللاهای مختلف بر حسب هارتی ..... ۸۳	
جدول ۴-۱۰- مقادیر ترمودینامیکی $E_0 + G_{corr}$ ۲ کنفورمرهای محوری و استوایی ۲- هالوسیکلوهگزان‌ایمین برای هالوژن‌های ( $F, Cl, Br$ ) در حللاهای مختلف بر حسب هارتی ..... ۸۴	
جدول ۴-۱۱- مقادیر ترمودینامیکی $E_0 + H_{corr}$ کنفورمرهای محوری و استوایی ۲- هالوسیکلوهگزان‌ایمین برای هالوژن‌های ( $F, Cl, Br$ ) در حللاهای مختلف بر حسب هارتی ..... ۸۵	

جدول ۱۲-۴ - مقادیر ترمودینامیکی $S_{total}$ کنفورمرهای محوری و استوایی ۲-هالوسیکلوهگزان ایمین بر حسب کالری بر مول بر کلوین در حلال‌های مختلف در سطح HF/6-311++G**	۸۶
جدول ۱۳-۴ - مقادیر ممان دو قطبی کنفورمرهای محوری و استوایی ۲- هالوسیکلوهگزان ایمین برای هالوژن‌های (F,Cl,Br) در حلال‌های مختلف بر حسب دبای در سطح HF/6-311++G* <sup>*</sup>	۸۷
جدول ۱۴-۴ - تغییرات توابع ترمودینامیکی تعادل استوایی به محوری ۲- هالوسیکلوهگزان ایمین در حلال سیکلوهگزان در سطح HF/6-311++G**	۸۸
جدول ۱۵-۴ - مقادیر تغییرات توابع ترمودینامیکی تعادل استوایی به محوری ۲- هالوسیکلوهگزان ایمین در حلال کربن‌تررا- کلرید در سطح HF/6-311++G**	۹۱
جدول ۱۶-۴ - تغییرات توابع ترمودینامیکی تعادل استوایی به محوری ۲- هالوسیکلوهگزان ایمین در حلال کلروفرم در سطح HF/6-311++G**	۹۴
جدول ۱۷-۴ - تغییرات توابع ترمودینامیکی تعادل استوایی به محوری ۲- هالوسیکلوهگزان ایمین در حلال تتراهیدروفوران در سطح HF/6-311++G**	۹۷
جدول ۱۸-۴ - تغییرات توابع ترمودینامیکی تعادل استوایی به محوری ۲- هالوسیکلوهگزان ایمین در حلال استون در سطح HF/6-311++G**	۹۹
جدول ۱۹-۴ - تغییرات توابع ترمودینامیکی تعادل استوایی به محوری ۲- هالوسیکلوهگزان ایمین در حلال دی‌متیل سولفوکسید در سطح HF/6-311++G**	۱۰۱
جدول ۲۰-۴ - مقادیر ترمودینامیکی انرژی‌های نقطه‌ی صفر ( $E_0$ ) کنفورمرهای محوری و استوایی ۲- هالوسیکلوهگزان ایمین برای هالوژن‌های (F,Cl,Br) در حلال‌های مختلف بر حسب هارتی در سطح B3LYP/6-311++G**	۱۰۴
جدول ۲۱-۴ - مقادیر ترمودینامیکی $E_0 + E_{zpc}$ کنفورمرهای محوری و استوایی ۲- هالوسیکلوهگزان ایمین برای هالوژن‌های (F,Cl,Br) در حلال‌های مختلف بر حسب هارتی در سطح B3LYP/6-311++G**	۱۰۵
جدول ۲۲-۴ - مقادیر ترمودینامیکی $E_0 + E_{tot}$ کنفورمرهای محوری و استوایی ۲- هالوسیکلوهگزان ایمین برای هالوژن‌های (F,Cl,Br) در حلال‌های مختلف بر حسب هارتی در سطح B3LYP/6-311++G**	۱۰۶
جدول ۲۳-۴ - مقادیر ترمودینامیکی $E_0 + G_{corr}$ کنفورمرهای محوری و استوایی ۲- هالوسیکلوهگزان ایمین برای هالوژن‌های (F,Cl,Br) در حلال‌های مختلف بر حسب هارتی در سطح B3LYP/6-311++G**	۱۰۷

جدول ۴-۲۴- مقادیر ترمودینامیکی $E_0 + H_{corr}$ کنفورمرهای محوری و استوایی ۲- هالوسیکلوهگزان ایمین برای هالوژن‌های ۱۰۸.....	B3LYP/6-311++G** (F,Cl,Br)
جدول ۴-۲۵- مقادیر ترمودینامیکی $S_{total}$ بر حسب کالری بر مول برکلوین در حلال‌های مختلف در سطح G** ۱۰۹.....	B3LYP/6-311++
جدول ۴-۲۶- مقادیر ممان دو قطبی ملکول‌ها در حلال‌های مختلف بر حسب دبای در سطح B3LYP/6-311++G** ۱۱۰.....	
جدول ۴-۲۷- تغییرات توابع ترمودینامیکی تعادل استوایی به محوری ۲- هالوسیکلوهگزان ایمین در حلال سیکلوهگزان در سطح B3LYP/6-311++G** ۱۱۱.....	
جدول ۴-۲۸- تغییرات توابع ترمودینامیکی تعادل استوایی به محوری ۲- هالوسیکلوهگزان ایمین در حلال کربن تتراکلرید در سطح B3LYP/6-311++G** ۱۱۳.....	
جدول ۴-۲۹- تغییرات توابع ترمودینامیکی تعادل استوایی به محوری ۲- هالوسیکلوهگزان ایمین در حلال کلروفرم در سطح ۱۱۵.....	B3LYP/6-311++G**
جدول ۴-۳۰- تغییرات توابع ترمودینامیکی تعادل استوایی به محوری کنفورمرهای ۲- هالوسیکلوهگزان ایمین در حلال تراهیدروفوران (THF) در سطح B3LYP/6-311++G** ۱۱۸.....	
جدول ۴-۳۱- تغییرات توابع ترمودینامیکی تعادل استوایی به محوری کنفورمرهای ۲- هالوسیکلوهگزان ایمین در حلال استون در سطح B3LYP/6-311++G** ۱۲۰.....	
جدول ۴-۳۲- تغییرات توابع ترمودینامیکی تعادل استوایی به محوری کنفورمرهای ۲- هالوسیکلوهگزان ایمین در حلال دی‌متیل‌سولفوكسید در سطح B3LYP/6-311++G** ۱۲۳.....	
جدول ۴-۳۳- تغییرات $\Delta E_0$ برای تعادل استوایی به محوری کنفورمرهای ۲- هالوسیکلوهگزان ایمین در حلال‌های مختلف در سطوح HF و B3LYP و سری پایه‌ی $6-311++G**$ ۱۲۶.....	
جدول ۴-۳۴- تغییرات ترمودینامیکی تعادل استوایی به محوری کنفورمرهای ۲- فلوروروسیکلوهگزان ایمین در حلال‌های مختلف در سطح HF/6-311++G** ۱۳۱.....	
جدول ۴-۳۵- تغییرات ترمودینامیکی تعادل استوایی به محوری کنفورمرهای ۲- فلورورو سیکلوهگزان ایمین در حلال های مختلف در سطح B3LYP/6-311++G** ۱۳۲.....	
جدول ۴-۳۶- تغییرات ترمودینامیکی تعادل استوایی به محوری کنفورمرهای ۲- کلروسیکلوهگزان ایمین در حلال های مختلف در سطح HF/6-311++G** ۱۳۶.....	

جدول ۴-۳۷-۴- تغییرات ترمودینامیکی تعادل استوایی به محوری کنفورمرهای ۲-کلروسیکلوهگزان ایمین در حلال های مختلف در سطح	B3LYP/۶-۳۱۱++G**	۱۳۷
جدول ۴-۳۸-۴- تغییرات ترمودینامیکی تعادل استوایی به محوری کنفورمرهای ۲-برموسیکلوهگزان ایمین در حلال های مختلف در سطح	HF/6-311++G**	۱۴۱
جدول ۴-۳۹-۴- تغییرات ترمودینامیکی تعادل استوایی به محوری کنفورمرهای ۲-برموسیکلوهگزان ایمین در حلال های مختلف در سطح	B3LYP/۶-۳۱۱++G**	۱۴۳
جدول ۴-۴۰-۴- فواصل و زوایای پیوندی کنفورمرهای محوری و استوایی ۲-هالوسیکلوهگزان ایمین برای هالوژن های (F,Cl,Br) در حلال سیکلوهگزان در سطح	B3LYP/۶-۳۱۱++G**	۱۵۱
جدول ۴-۴۱-۴- فواصل و زوایای پیوندی کنفورمرهای محوری و استوایی ۲-هالوسیکلوهگزان ایمین برای هالوژن های (F,Cl,Br) در حلال کربن تراکلرید در سطح	B3LYP/۶-۳۱۱++G**	۱۵۳
جدول ۴-۴۲-۴- فواصل و زوایای پیوندی کنفورمرهای محوری و استوایی ۲-هالوسیکلوهگزان ایمین برای هالوژن های (F,Cl,Br) در حلال کلروفرم در سطح	B3LYP/۶-۳۱۱++G**	۱۵۴
جدول ۴-۴۳-۴- فواصل و زوایای پیوندی کنفورمرهای محوری و استوایی ۲-هالوسیکلوهگزان ایمین برای هالوژن های (F,Cl,Br) در حلال تراهیدروفوران در سطح	B3LYP/۶-۳۱۱++G**	۱۵۵
جدول ۴-۴۴-۴- فواصل و زوایای پیوندی کنفورمرهای محوری و استوایی ۲-هالوسیکلوهگزان ایمین برای هالوژن های (F,Cl,Br) در حلال استون در سطح	B3LYP/۶-۳۱۱++G**	۱۵۶
جدول ۴-۴۵-۴- فواصل و زوایای پیوندی کنفورمرهای محوری و استوایی ۲-هالوسیکلوهگزان ایمین برای هالوژن های (F,Cl,Br) در حلال دی متیل سولفوكسبید در سطح	B3LYP/۶-۳۱۱++G**	۱۵۷
جدول ۴-۴۶-۴- فواصل و زوایای پیوندی کنفورمرهای محوری و استوایی ۲-هالوسیکلوهگزان ایمین برای هالوژن های (F,Cl,Br) در حلال سیکلوهگزان در سطح	HF/۶-۳۱۱++G**	۱۵۸
جدول ۴-۴۷-۴- فواصل و زوایای پیوندی کنفورمرهای محوری و استوایی ۲-هالوسیکلو هگزان ایمین برای هالوژن های (F,Cl,Br) در حلال کربن تراکلرید در سطح	HF/6-311++G**	۱۵۹
جدول ۴-۴۸-۴- فواصل و زوایای پیوندی کنفورمرهای محوری و استوایی ۲-هالوسیکلو هگزان ایمین برای هالوژن های (F,Cl,Br) در حلال کلروفرم در سطح	HF/۶-۳۱۱++G**	۱۶۰

- جدول ۴۹-۴ - فواصل و زوایای پیوندی کنفورمرهای محوری و استوایی-۲-هالوسیکلولوگزان ایمین برای هالوژنهای  
۱۶۱ ..... HF/۶-۳۱۱++G\*\* (F,Cl,Br) در حلal تتراهیدروفوران در سطح
- جدول ۵۰-۴ - فواصل و زوایای پیوندی کنفورمرهای محوری و استوایی-۲-هالوسیکلولوگزان ایمین برای هالوژنهای  
۱۶۲ ..... HF/۶-۳۱۱++G\*\* (F,Cl,Br) در حلal استون در سطح
- جدول ۵۱-۴ - فواصل و زوایای پیوندی کنفورمرهای محوری و استوایی-۲-هالوسیکلولوگزان ایمین برای هالوژنهای  
۱۶۳ ..... HF/۶-۳۱۱++G\*\* (F,Cl,Br) در حلal دی متیل سولفو کسید در سطح

## فهرست نمودارها

عنوان

صفحه

نمودار ۱-۱- انرژی وارونگی حلقه‌ی متیل سیکلوهگزان ..... ۶	عنوان
نمودار ۱-۴- تغییرات $\Delta E$ کنفورمرهای ۲-هالوسیکلوهگزان ایمین هالوژن‌های (F,Cl,Br) در سطوح HF و B3LYP و سری پایه‌ی ۶-۳۱۱++ G** ..... ۷۲	صفحه
نمودار ۲-۴- تغییرات $\Delta E_0$ کنفورمرهای ۲-هالوسیکلوهگزان ایمین هالوژن‌های (F,Cl,Br) در سطوح HF و B3LYP و سری پایه‌ی ۶-۳۱۱++ G** ..... ۷۲	عنوان
نمودار ۳-۴- تغییرات $\Delta H$ کنفورمرهای ۲-هالوسیکلوهگزان ایمین هالوژن‌های (F,Cl,Br) در سطوح HF و B3LYP و سری پایه‌ی ۶-۳۱۱++ G** ..... ۷۳	صفحه
نمودار ۴-۴- تغییرات انرژی آزاد گیس ( $\Delta G$ ) برای تعادل تبدیل کنفورمرهای ۲-هالوسیکلوهگزان ایمین در فاز گاز و سطوح HF و سری B3LYP و سری پایه‌ی ۶-۳۱۱++ G** ..... ۷۳	عنوان
نمودار ۵-۴- تغییرات ممان دوقطبی کنفورمرهای ۲-هالوسیکلوهگزان ایمین در فاز گاز و سطوح HF و B3LYP و سری پایه‌ی ۶-۳۱۱++G** ..... ۷۴	صفحه
نمودار ۶-۴- تغییرات طول پیوند C-X کنفورمرهای ۲-هالوسیکلوهگزان ایمین محوری در فاز گاز و در سطوح HF و B3LYP و سری پایه‌ی ۶-۳۱۱++ G** ..... ۷۹	عنوان
نمودار ۷-۴- تغییرات $\Delta E$ و $\Delta E_0$ برای تعادل استوایی به محوری کنفورمرهای ۲-هالوسیکلوهگزان ایمین در حلال کربن تتراکلرید در سطح HF و سری پایه‌ی ۶-۳۱۱++ G** ..... ۹۳	صفحه
نمودار ۸-۴- تغییرات $\Delta G$ تعادل کنفورمرهای استوایی به محوری ۲-هالوسیکلوهگزان ایمین در حلال کلروفرم در سطح HF و سری پایه‌ی ۶-۳۱۱++G** ..... ۹۶	عنوان
نمودار ۹-۴- تغییرات $\Delta E$ و $\Delta E_0$ تعادل کنفورمرهای استوایی به محوری ۲-هالوسیکلوهگزان ایمین در حلال کلروفرم در سطح HF و سری پایه‌ی ۶-۳۱۱++G** ..... ۹۶	صفحه
نمودار ۱۰-۴- تغییرات $\Delta E$ و $\Delta E_0$ تعادل کنفورمرهای استوایی به محوری ۲-هالوسیکلوهگزان ایمین در حلال کلروفرم در سطح B3LYP و سری پایه‌ی ۶-۳۱۱++G** ..... ۱۱۷	عنوان

نمودار ۴-۱۱- تغییرات $\Delta E$ و $\Delta E_0$ کنفورمرهای ۲- هالو سیکلوهگزان ایمین برای هالوژن‌های (F,Cl,Br) در حلال استون در سطح B3LYP/6-311++G**.....	۱۲۲.....
نمودار ۴-۱۲- تغییرات ثابت تعادل ( $k_{eq}$ ) کنفورمرهای ۲- هالوسیکلوهگزان ایمین برای هالوژن‌های (F,Cl,Br) در حلال استون در سطح B3LYP/6-311++G**.....	۱۲۳.....
نمودار ۴-۱۳- تغییرات $\Delta E_0$ بر حسب ضریب دی الکتریک برای تعادل استوایی به محوری کنفورمرهای ۲-برموسیکلوهگزان ایمین در سطوح B3LYP و HF با استفاده از سری پایهی *G**-۳۱۱++.....۶-۳۱۱++.....۶.....	۱۲۸.....
نمودار ۴-۱۴- تغییرات $\Delta E_0$ بر حسب ضریب دی الکتریک برای تعادل استوایی به محوری کنفورمرهای ۲-کلرو سیکلوهگزان ایمین در سطوح B3LYP و HF با استفاده از سری پایهی *G**-۳۱۱++.....۶-۳۱۱++.....۶.....	۱۲۹.....
نمودار ۴-۱۵- تغییرات $\Delta E_0$ بر حسب ضریب دی الکتریک برای تعادل استوایی به محوری کنفورمرهای ۲-فلوئوروسیکلوهگزان ایمین در سطوح B3LYP و HF با استفاده از سری پایهی *G**-۳۱۱++.....۶-۳۱۱++.....۶.....	۱۲۹.....
نمودار ۴-۱۶- تغییرات $\Delta E$ بر حسب ضریب دی الکتریک برای تعادل استوایی به محوری ۲-فلوئورو سیکلوهگزان ایمین در سطوح HF و B3LYP با استفاده از سری پایه *G**-۳۱۱++.....۶-۳۱۱++.....۶.....	۱۳۴.....
نمودار ۴-۱۷- تغییرات $\Delta G$ بر حسب ضریب دی الکتریک برای تعادل استوایی به محوری ۲-فلوئورو سیکلوهگزان ایمین در سطوح HF و B3LYP با استفاده از سری پایه *G**-۳۱۱++.....۶-۳۱۱++.....۶.....	۱۳۴.....
نمودار ۴-۱۸- تغییرات $\Delta G$ بر حسب ضریب دی الکتریک برای تعادل استوایی به محوری ۲-کلروسیکلوهگزان ایمین در سطوح HF و B3LYP با استفاده از سری پایه *G**-۳۱۱++.....۶-۳۱۱++.....۶.....	۱۳۹.....
نمودار ۴-۱۹- تغییرات $\Delta E$ بر حسب ضریب دی الکتریک حلال برای تعادل استوایی به محوری ۲-کلروسیکلوهگزان ایمین در سطوح HF و B3LYP با استفاده از سری پایه *G**-۳۱۱++.....۶-۳۱۱++.....۶.....	۱۳۹.....
نمودار ۴-۲۰- تغییرات $\Delta G$ بر حسب ضریب دی الکتریک حلال برای تعادل استوایی به محوری کنفورمرهای ۲-برموسیکلوهگزان ایمین در سطوح B3LYP و HF با استفاده از سری پایه *G**-۳۱۱++.....۶-۳۱۱++.....۶.....	۱۴۴.....
نمودار ۴-۲۱- تغییرات $\Delta E$ بر حسب ضریب دی الکتریک حلال برای تعادل استوایی به محوری کنفورمرهای ۲-برموسیکلوهگزان ایمین در سطوح B3LYP و HF با استفاده از سری پایه *G**-۳۱۱++.....۶-۳۱۱++.....۶.....	۱۴۴.....
نمودار ۴-۲۲- تغییرات ممان دوقطبی ۲-فلوئوروسیکلوهگزان ایمین محوری در حلال‌های مختلف در سطوح HF و B3LYP و سری پایهی *G**-۳۱۱++.....۶-۳۱۱++.....۶.....	۱۴۷.....

نمودار ۲۳-۴- تغییرات ممان دوقطبی ۲-فلوئوروسیکلولهگزان ایمین استوایی در حلال‌های مختلف در سطوح HF و B3LYP و	سری پایه‌ی ۶-۳۱۱++G**
۱۴۷.....	
نمودار ۲۴-۴- تغییرات ممان دوقطبی ۲-کلروسیکلولهگزان ایمین محوری در حلال‌های مختلف در سطوح B3LYP و HF و	سری پایه‌ی ۶-۳۱۱++G**
۱۴۸.....	
نمودار ۲۵-۴- تغییرات ممان دوقطبی ۲-کلروسیکلولهگزان ایمین استوایی در حلال‌های مختلف در سطوح HF و B3LYP و	سری پایه‌ی ۶-۳۱۱++G**
۱۴۸.....	
نمودار ۲۶-۴- تغییرات ممان دوقطبی ۲-برموسیکلولهگزان ایمین محوری در حلال‌های مختلف در سطوح HF و B3LYP و	سری پایه‌ی ۶-۳۱۱++G**
۱۴۹.....	
نمودار ۲۷-۴- تغییرات ممان دوقطبی ۲-برموسیکلولهگزان ایمین استوایی در حلال‌های مختلف در سطوح HF و B3LYP و	سری پایه‌ی ۶-۳۱۱++G**
۱۴۹.....	

## فهرست شکل‌ها

عنوان

صفحة

شکل ۱-۱-الف) صورت‌بندی صندلی سیکلوهگزان ب) مدل توپ و میله‌ی سیکلوهگزان پ) مدل فضا پرکن	۳
شکل ۱-۲-مدل نیومنی صورت‌بندی سیکلوهگزان	۳
شکل ۱-۳-الف) صورت‌بندی قایق سیکلوهگزان ب) صورت‌بندی قایق تابدار سیکلوهگزان	۴
شکل ۱-۴-الف) سیکلوهگزان کامل ب) نمایش پیوندهای استوایی سیکلوهگزان پ) نمایش پیوندهای محوری سیکلوهگزان	۵
شکل ۱-۵-نمایش وارونگی حلقه در صورت‌بندی صندلی سیکلوهگزان	۶
شکل ۱-۶-وارونگی حلقه‌ی مตیل سیکلوهگزان	۸
شکل ۱-۷-کنفورمرهای فلوئورو سیکلوهگزان	۸
شکل ۱-۸-کنفورمرهای ایزوپروپیل سیکلوهگزان	۹
شکل ۱-۹-استرئوایزومری سیکلوهگزان‌های دو استخلافی در موقعیت‌های ۲ و ۱	۹
شکل ۱-۱۰-استرئوایزومری سیکلوهگزان‌های دو استخلافی در موقعیت‌های ۱ و ۳	۹
شکل ۱-۱۱-ستتر سیکلوهگزانون	۱۲
شکل ۱-۱۲-تهیه‌ی آمین‌ها در صنعت	۱۴
شکل ۱-۱۳-ستتر آمین‌ها به روش آمین‌دار شدن کاهشی	۱۶
شکل ۱-۱۴-مکانیسم ستتر آمین‌ها با استفاده از کاتالیزور OMS-2	۱۹
شکل ۱-۱۵-ستتر کمپلکس π هگزا کربونیل تنگستن (0) با سیکلوهگزانون	۲۴
شکل ۱-۱۶-ستتر کمپلکس π هگزا کربونیل تنگستن (0) با سیکلوهگزاناتیون	۲۴
شکل ۱-۱۷-ستتر کمپلکس π هگزا کربونیل تنگستن (0) با N-سیکلوهگزیلیدین آنیلین	۲۴
شکل ۱-۱۸-استفاده از کمپلکس‌های π هگزا کربونیل تنگستن (0) سیکلوهگزانون	۲۵
شکل ۱-۱۹-تعادل بین صورت‌بندی‌های ۲-هالو سیکلوهگزانون (X=F, Cl, Br)	۲۷
شکل ۱-۲۰-تعادل بین کنفورمرهای مشتقات ۲-هالو سیکلوهگزانون	۳۰
شکل ۱-۲۱-کنفورمرهای ممکن برای a) ۳-فلوئورو بوتان-۲-ان و b) ۳-دی‌فلوئورو بوتان-۲-ان	۳۲

شکل ۱-۲- تعادل بین صورت‌بندی کنفورمرهای سیکلوهگزان	۳۳
شکل ۹-۲- تترا هیدرو- $H_2$ - تیو پیران-۱- اکسید	۳۳
شکل ۱۰-۲- او-۲-دی تیان-۱- اکسید	۳۴
شکل ۱۱-۲- تترا هیدرو- $H_2$ - تیو پیران-۱- اکسید	۳۴
شکل ۱۴-۱- تعادل تبدیل کنفورمرهای ۲-هالوسیکلوهگزان ایمین استوایی به محوری ( $X=F, Cl, Br$ )	۶۵
شکل ۲-۴- تعادل بین ساختارهای بهینه کنفورمرهای استوایی و محوری ۲-هالوسیکلوهگزان ایمین هالوژن‌های $B3LYP/6-311++G^{**}$ در سطح (Br, Cl, F)	۷۸
شکل ۳-۴- کنفورمرهای ۲-هالوسیکلوهگزان ایمین برای هالوژن‌های ( $F, Cl, Br$ ) در حلال سیکلوهگزان در سطح سری پایه‌ی $HF-311++G^{**}$	۸۹
شکل ۴-۴- تعادل بین کنفورمرهای ۲-هالوسیکلوهگزان ایمین ( $X=F, Cl, Br$ )	۱۲۵
شکل ۵-۴- تعادل بین کنفورمرهای ۲-فلوئورو سیکلوهگزان ایمین در حلال‌های مختلف	۱۳۰
شکل ۶-۴- تعادل بین کنفورمرهای ۲-کلرو سیکلوهگزان ایمین در حلال‌های مختلف	۱۳۵
شکل ۷-۴- تعادل بین کنفورمرهای ۲-برمو سیکلوهگزان ایمین در حلال‌های مختلف	۱۴۰
شکل ۸-۴- ساختارهای بهینه شده‌ی کنفورمرهای ۲-هالوسیکلوهگزان ایمین برای هالوژن‌های ( $F, Cl, Br$ ) در حلال سیکلوهگزان در سطح $B3LYP/6-311++G^{**}$ سری پایه‌ی	۱۵۲

## چکیده:

در این تحقیق تعادل کنفورمرهای استوایی به محوری ۲-هالوسیکلوهگزان ایمین در فاز گاز و محلول با استفاده از محاسبات مکانیک کوانتموی Ab initio و B3LYP و سری پایه‌ی  $G^{**}-311++$  مورد بررسی قرار گرفته‌اند. برای در نظر گرفتن اثر حلال از روش میدان خودسازگار واکنش (SCRF) و مدل پیوستار قطبیده (PCM) استفاده شده است. برای به دست آوردن مقادیر  $\Delta H$ ,  $\Delta G$ ,  $\Delta E$  و  $\Delta S$  از محاسبات فرکانس نیز استفاده شده است.

در این تحقیق حلال‌ها به دو دسته‌ی قطبی و غیر قطبی دسته‌بندی شده‌اند. حلال‌های سیکلوهگزان و کربن‌تتراکلرید غیر قطبی و حلال‌های کلروفرم، تتراهیدروفوران، استون و دی‌متیل‌سولفوکسید قطبی می‌باشند.

محاسبات نشان می‌دهد با کاهش ضریب دی الکتریک حلال تغییر انرژی آزاد گیبس ( $\Delta G$ ) فرایند تبدیل کنفورمر استوایی به محوری سیکلوهگزان ایمین کاهش می‌یابد. به عبارتی تمایل به محوری شدن با کاهش ضریب دی الکتریک افزایش می‌یابد. در واقع کنفورمر محوری ممان دو قطبی کمتری دارد و کنفورمر استوایی ممان دو قطبی بیشتری دارد در نتیجه کنفورمر محوری در حلال‌های غیر قطبی پایداری بیشتری دارد و کنفورمر استوایی در حلال‌های قطبی پایدارتر می‌شود. همچنین هالوژن فلوئور بیشتر موقعیت استوایی را ترجیح می‌دهد زیرا حجم هالوژن کوچک است. هالوژن برم که حجمی‌تر است بیشتر موقعیت محوری را ترجیح می‌دهد که به علت برهم‌کنش‌های دافعه‌ای بین گروه  $C=N$  و هالوژن می‌باشد. در مورد مقادیر ترمودینامیکی  $\Delta G$  در کنفورمرهای ۲-هالوسیکلوهگزان ایمین در حلال‌های مختلف از فلوئور به سمت برم مقادیر منفی‌تر است در نتیجه درصد کنفورمر استوایی فلوئور بیشتر و درصد کنفورمر محوری در برم بیشتر است.